

## بررسی تنوع مولکولی در لاین‌های اصلاحی گندم دوروم با استفاده از

### نشانگرهای SCoT

#### Evaluation of molecular diversity in breeding lines of durum wheat using SCoT markers

نصیبه شایگان<sup>۱</sup>، علیرضا اطمینان<sup>۲\*</sup>، اسلام مجیدی هروان<sup>۱</sup>، رضا عزیزی نژاد<sup>۱</sup>، رضا محمدی<sup>۳</sup>

۱- به‌ترتیب دانشجوی دکتری، استاد، استادیار، گروه بیوتکنولوژی و بهنژادی گیاهی، واحد علوم و تحقیقات، دانشگاه آزاد اسلامی، تهران، ایران

۲- دانشیار، گروه بیوتکنولوژی و بهنژادی گیاهی، واحد کرمانشاه، دانشگاه آزاد اسلامی، کرمانشاه، ایران

۳- دانشیار، موسسه تحقیقات کشاورزی دیم کشور، معاونت سرارود، سازمان تحقیقات، آموزش و ترویج کشاورزی، کرمانشاه، ایران

Shaygan N<sup>1</sup>, Etminan A<sup>\*2</sup>, Majidi Hervan E<sup>1</sup>, Azizi Nezhad R<sup>1</sup>, Mohammadi R<sup>3</sup>

1- PhD Student, Professor, Assistant Professor, Department of Plant Breeding and Biotechnology, Science and Research Branch, Islamic Azad University, Tehran, Iran

2- Associate Professor, Department of Plant Breeding and Biotechnology, Kermanshah Branch, Islamic Azad University, Kermanshah, Iran

3- Associate Professor, Dryland Agricultural Research Institute, Sararood Branch, Agricultural Research, Education and Extension Organization (AREEO), Kermanshah, Iran

\* نویسنده مسئول مکاتبات، پست الکترونیکی: alietminan55@yahoo.com

(تاریخ دریافت: ۹۹/۰۳/۱۷ - تاریخ پذیرش: ۹۹/۰۹/۱۸)

### چکیده

ارزیابی تنوع ژنتیکی در یک منبع ژرم‌پلاسمی در حفاظت مؤثر از ذخایر ژنتیکی اهمیت داشته و به کوتاه شدن مدت زمان برنامه‌های به‌نژادی کمک می‌نماید. تنوع ژنتیکی نقش بسیار مهمی در کاهش آسیب‌پذیری ژنتیکی در برنامه‌های به‌نژادی گیاهان دارد. در مطالعه‌ی حاضر، ۹۶ ژنوتیپ گندم دوروم برای ارزیابی تنوع ژنتیکی با استفاده از ۱۲ آغازگر SCoT مورد ارزیابی قرار گرفت. نتایج نشان داد که آغازگرهای SCoT، در مجموع ۷۶ باند چند شکل با متوسط ۵/۴۲ باند به ازای هر آغازگر در جمعیت مورد بررسی تکثیر نمودند. میانگین مقادیر شاخص نشانگر (MI) و محتوای اطلاعات چندشکلی (PIC) برای آغازگرهای SCoT به ترتیب ۰/۴۶ و ۲/۵۱ به‌دست آمد و نشان داد که نشانگرهای SCoT از کارایی بالایی در شناسایی تنوع ژنتیکی در ژرم پلاسم گندم دوروم برخوردارند. برآورد تعداد آلل‌های مشاهده شده (Na)، آلل مؤثر (Ne)، شاخص شانون (I) و میزان هتروزیگوسی (H) نشان داد که لاین‌های با منشاء ICARDA در مقایسه با لاین‌های با منشاء CIMMYT از میزان تنوع ژنتیکی بیش‌تری برخوردارند. گروه‌بندی لاین‌های مورد بررسی با استفاده از روش تجزیه خوشه‌ای بر اساس ماتریس تشابه جاکارد و الگوریتم Neighbor-joining لاین‌های مورد بررسی را تا حد زیادی بر اساس منشاء آن‌ها دسته‌بندی نمود. این نتایج نشان داد که تنوع ژنتیکی نسبتاً بالایی در لاین‌های مورد مطالعه وجود داشته و نشانگرهای SCoT ابزاری مناسب برای مطالعه تنوع ژنتیکی در ژرم پلاسم گندم دوروم هستند.

### واژه‌های کلیدی

پلی‌مورفیسم  
تنوع ژنتیکی  
گندم دوروم  
نشانگر SCoT



## مواد و روش‌ها

در این پژوهش تنوع ژنتیکی ۹۶ ژنوتیپ گندم دوروم شامل لاین‌های اصلاحی و ارقام شاهد دریافت شده از معاونت مؤسسه تحقیقات کشاورزی دیم (ایستگاه سرارود) واقع در کرمانشاه مورد ارزیابی قرار گرفت. مشخصات لاین‌های اصلاحی گندم دوروم ارزیابی شده به همراه منشأ آن‌ها در جدول ۱ ارائه شده است.

موجود در ژرم پلاسما خویشاوندان وحشی گندم معرفی شدند که با توجه به قابلیت‌هایی که دارند می‌توانند در مطالعات ساختار جمعیت نیز مورد استفاده قرار گیرند (Ahmadi et al. 2019). در این مطالعه، از نشانگرهای SCoT برای بررسی تنوع ژنتیکی در ۹۶ ژنوتیپ گندم دوروم شامل ۵۴ لاین اصلاحی (BL) با منشأ (ICARDA)، ۳۸ لاین اصلاحی با منشأ (CIMMYT) و چهار ژنوتیپ شاهد (check) استفاده شد.

جدول ۱- کد شناسایی، منشأ و مشخصات ژنومی لاین‌های مورد ارزیابی

No.	Variety / Line	Type	Origin	No.	Variety / Line	Type	Origin
1	Mrf1/Stj2//Gdr2/Mgn1/3/Bcrch1	BL <sup>1</sup>	ICARDA	49	Stj3//Bcr/Lks4/3/Ter3/4/	BL	ICARDA
2	Ter1//Mrf1/Stj2/3/Icasyr1	BL	ICARDA	50	Icarasha1//Quabrach3/	BL	ICARDA
3	Icarasha2 (Stj3//Bcr/Lks4/3/Ter3)	BL	ICARDA	51	Saji (check)	Cultivar	Iran
4	Adnan1//Mgn1/3/Ainzen1	BL	ICARDA	52	Zahab (check)	Cultivar	Iran
5	Geromtel1/IRANYT053//Mgn1/3/Ainze	BL	ICARDA	53	SRN-1/KILL//2*FOLTA-1 (check)	AL	CIMMYT
6	IcamorTA0462/4/Gdr2//SwAlg/Gdr1-	BL	ICARDA	54	Imren (check)	AL	Turkey
7	IcamorTA0471//IcamorTA0459/Arisl	BL	ICARDA	55	Miki3 (Stj3//Bcr/Lks4)	BL	ICARDA
8	IcamorTA041/4/IcamorTA0469/3/Bcr	BL	ICARDA	56	Mrb3/Tboeoticum500648/	BL	ICARDA
9	Waha (Plc/Ruff//Gta/Rtte)	BL	ICARDA	57	Mrb3/Tboeoticum500648/3/ICAM/A	BL	ICARDA
10	Mrb3/Mna1//Ter1/3/IcamorTA0459/	BL	ICARDA	58	SwAlgia/Gd181//Ch158/3/Marsyr3	BL	ICARDA
11	Maamouri1/5/IcamorTA0462/4/Stj3	BL	ICARDA	59	ALTAR 84	BL	CIMMYT
12	Azeghar2/5/IcamorTA0462/4/Stj3	BL	ICARDA	60	SORA/2*PLATA_12/3/SOR	BL	CIMMYT
13	Mgn1/3/Ainzen1/3/Bcr/Gro1//Mgn1	BL	ICARDA	61	ALTAR 84/STINT//SILVER_45/3	BL	CIMMYT
14	Oss11/Stj5/5/Bicredera1/4	BL	ICARDA	62	CAMAYO/HYDRANASSINIA	BL	CIMMYT
15	Omrabi5 (Jori c69/Hau)	BL	ICARDA	63	ALTAR 84/BINTEPE 85D	BL	CIMMYT
16	Azeghar1/6/Zna1/5/Aw11/4/Ruff/1	BL	ICARDA	64	PLATA_7/ILBOR06/3*MOJ	BL	CIMMYT
17	Aghrass1/3/HFN94N8/Mrb5//	BL	ICARDA	65	PLATA_7/ILBOR_1//SOMAT_3	BL	CIMMYT
18	Ouasloukos1/5/Azn1/4/	BL	ICARDA	66	MINIMUS/COMB DUCK_2C	BL	CIMMYT
19	Ter1/3/Stj3//Bcr/Lks4/4/Aghrass1/3	BL	ICARDA	67	MIRADOUX/3/AG 1-22/2*ACO8	BL	CIMMYT
20	Ter1/3/Stj3//Bcr/Lks4/4	BL	ICARDA	68	CBC 509 CHILE/5/2*AJAIA	BL	CIMMYT
21	Korifla/AegSpeltoidesSyr//Amedakul	BL	ICARDA	69	STORLOM/3/RASCON_37/TARRO	BL	CIMMYT
22	Korifla/AegSpeltoidesSyr//Mrb5	BL	ICARDA	70	BRENNUR/CIRNO C 2008	BL	CIMMYT
23	Korifla/AegSpeltoidesSyr//Loukos	BL	ICARDA	71	GEROMTEL-3/7/ALTAR 84/B	BL	CIMMYT
24	Korifla/AegSpeltoidesSyr//Amedaku	BL	ICARDA	72	GERUFTEL-1//GUAYACAN	BL	CIMMYT
25	Younes/TdicoAlpCol//Korifla	BL	ICARDA	73	CHILE/5/2*AJAIIINIA/GUANAY/	BL	CIMMYT
26	Waha (Plc/Ruff//Gta/Rtte)	BL	ICARDA	74	SOOTY_9/RASCON_37//GUAYAC	BL	CIMMYT
27	Korifla/AegSpeltoidesSyr//Lahn	BL	ICARDA	75	INIA/GUANAY//PORRON_4/BEJA	BL	CIMMYT
28	T.dic.Crosses61/4/Quarmal/Gbch2/3	BL	ICARDA	76	INIA/GUANAY//PORRON_4/	BL	CIMMYT
29	Younes1/6/Ouasloukos1/5	BL	ICARDA	77	INIA/GUANAY/8/GED	BL	CIMMYT
30	Icarasha1/T.Aeg.Crosses	BL	ICARDA	78	CNDO/VEE//PLATA_8/3/6*	BL	CIMMYT
31	Terbol975/Gerufel2/7/Icasyr1//Mrf2/	BL	ICARDA	79	RANCO//CIT71/CII/3/COMDK	BL	CIMMYT
32	Icamilmus1/3/Marsyr3	BL	ICARDA	80	RANCO//CIT71/CII/3/COMDK/4/	BL	CIMMYT
33	Icasyr1/3/Gcn//Stj/Mrb3/4/Mgn1/3/A	BL	ICARDA	81	1A.1D 5+1-06/3*MOJO//RCOL/4	BL	CIMMYT

<sup>1</sup> Breeding lines

34	Marsyr3/Murlagost2//T.	BL	ICARDA	82	CBC 509 CHILE/6/ECO/CMH7	BL	CIMMYT
35	Waha//Azeghar2/RedSeedTer112	BL	ICARDA	83	CANELO_8//SORA/2*PLATA_	BL	CIMMYT
36	Icasyr1/3/Bcr/Sb15//T.urartu/4/T.Ac	BL	ICARDA	84	CANELO_8//SORA/2*PLATA_12/4/	BL	CIMMYT
37	Icarasha2 (Stj3//Bcr/Lks4/3/Ter3)	BL	ICARDA	85	ALTAR 84/BINTEPE 85/3	BL	CIMMYT
38	Marsyr3/3/Gcn//Stj/Mrb3/4/T.Aeg.Cro	BL	ICARDA	86	BYBLOS/6/PLATA_6/GREEN_17/3/	BL	CIMMYT
39	Marsyr3//Saadi1989/Chan/3/T.Aeg.	BL	ICARDA	87	BYBLOS/6/TPDY_18/FOCHA_1//	BL	CIMMYT
40	ICAMORTA0469/4/ICAMORTA0463	BL	ICARDA	88	PLATA_10/6/MQUE/4/USDA5	BL	CIMMYT
41	Jk/Ch1613//TpolonicumIG97746	BL	ICARDA	89	ATIL/3/KNIPA/PLANETA/TRILE	BL	CIMMYT
42	T.Aeg.Crosses/Atlas2	BL	ICARDA	90	OROBEL//BUSHEN_4/2*GREEN	BL	CIMMYT
43	Jk/Ch1523//Atlas2/3/Mrb5/Lahaucan	BL	ICARDA	91	MÂAL/10/ALTAR 84/CMH82A	BL	CIMMYT
44	Jk/Ch1604//Ysf1/Otb6/3/Adnan2	BL	ICARDA	92	MOHAWK/4/DUKEM_1//PATKA	BL	CIMMYT
45	Icamilmus1/3/Marsyr3//Saadi1989/	BL	ICARDA	93	GUAYACAN INIA/2*SNITAN/	BL	CIMMYT
46	Mgn13/Aghrass2/4/IcamorTA0462/	BL	ICARDA	94	ALTAR 84/STINT//SILVER_	BL	CIMMYT
47	Icasyr1//Mrf2/T.d	BL	ICARDA	95	PLATA_7//ILBOR_1//SO	BL	CIMMYT
48	Icasyr1//Mrf2/T.dids20123/6/	BL	ICARDA	96	CBC 509 CHILE/6/ECO/CM	BL	CIMMYT

Safeview II (Co.LTD) آشکارسازی و سپس بر اساس وجود یا عدم وجود باند به ترتیب به صورت یک و صفر امتیازدهی شدند. شاخص‌های کارایی نشانگر همچون محتوای اطلاعات چندشکل<sup>۱</sup> (PIC)، شاخص نشانگر<sup>۲</sup> (MI) و قدرت تمایز<sup>۳</sup> (Rp) بر اساس روابط ارائه شده توسط (Powell et al. 1996) محاسبه شد. به منظور تعیین سهم واریانس ژنتیکی بین و درون جمعیت‌ها، تجزیه واریانس مولکولی (AMOVA) با استفاده از نرم‌افزار GenAIEx (Peakall and Smouse 2006) انجام شد.

جهت بررسی و مقایسه میزان تنوع ژنتیکی موجود در هر یک از جمعیت‌ها پارامترهای ژنتیکی نظیر درصد لوکوس‌های چندشکل، شاخص شانون، تعداد آلل‌های مؤثر و ... برآورد شدند. گروه‌بندی لاین‌های مورد بررسی بر اساس ماتریس تشابه جاکارد و به روش Neighbor-joining و همچنین تجزیه به مختصات اصلی (PCoA) با استفاده از نرم‌افزار DARwin (Perrier et al. 2003) انجام شد.

### نتایج و بحث

در جدول ۲ خلاصه‌ای از نتایج به دست آمده از الگوهای باندی تکثیر یافته توسط ۱۲ آغازگر مورد استفاده در این پژوهش نشان داده شده است. تعداد کل قطعات تکثیری چندشکل با میانگین

به منظور استخراج DNA ژنومی، ابتدا بذر هر یک از ژنوتیپ‌های مورد بررسی در گلدان کشت شد و پس از رشد گیاهچه‌های مورد نیاز، استخراج DNA از برگ‌های جوان بر اساس دستورالعمل CTAB انجام شد (Doyle and Doyle 1987). کیفیت DNA استخراجی توسط الکتروفورز ژل آگارز ۰/۸ درصد مورد بررسی قرار گرفت. در این تحقیق از ۱۵ آغازگر SCoT استفاده شد اما تنها ۱۲ مورد از این آغازگرها الگوهای باندی قابل امتیازدهی ایجاد نمودند که مشخصات هر کدام از آن‌ها در جدول ۲ ارائه شده است.

پس از بهینه‌سازی شرایط تکثیر، واکنش زنجیره‌ای پلیمرز در حجم ۲۰ میکرولیتر (شامل ۱۰ میکرولیتر Master mix 2X PCR (Ampliqon, ID: 5200300-1250)، ۶ میکرولیتر آب دیونیزه، ۲ میکرولیتر آغازگر (با غلظت ۱۰ پیکومول در میکرولیتر) و ۲ میکرولیتر DNA ژنومی با استفاده از دستگاه ترموسایکلر BIORAD مدل T-100 انجام شد. شرایط دمایی واکنش‌های PCR به صورت یک مرحله واسرشت‌سازی اولیه در ۹۴ درجه سلسیوس به مدت ۴ دقیقه و سپس ۳۵ چرخه با دمای ۹۴ درجه به مدت یک دقیقه برای واسرشت‌سازی، دمای بهینه شده برای هر آغازگر به مدت ۴۵ ثانیه جهت اتصال آغازگرها و دمای ۷۲ سلسیوس به مدت دو دقیقه جهت همانند سازی و در نهایت ۷ دقیقه دمای ۷۲ درجه سلسیوس جهت بسط نهایی تنظیم شد. محصول واکنش‌های تکثیری بر روی ژل آگارز ۱/۵ درصد با بافر TBE تفکیک و با استفاده از رنگ‌آمیزی با (kiagen Teb

<sup>1</sup> Polymorphism information content

<sup>2</sup> Marker Index

<sup>3</sup> Resolving power

استفاده برای ارزیابی ژرم پلاسما مطالعه باشد و بر این اساس می‌توان آغازگرهای مناسب با حداکثر چندشکلی را برای ژرم پلاسماهای مشابه در مطالعات آتی توصیه نمود. لازم به ذکر است در یک مطالعه به‌منظور بررسی تنوع ژنتیکی در گندم دوروم با استفاده از همین نشانگر متوسط شاخص PIC برابر ۰/۳۹ گزارش شد که نتایج این تحقیق را تایید می‌کند (Heidari et al. 2017). همچنین در مطالعه دیگری در استفاده از دو سیستم نشانگری ISSR و SCoT برای بررسی تنوع ژنتیکی موجود در ژنوتیپ‌هایی از گندم دوروم نشانگرهای SCoT بر اساس مقادیر شاخص‌های PIC، RP و MI به‌عنوان نشانگرهایی کارآمد در شناسایی چندشکلی موجود در ژرم پلاسما گندم دوروم معرفی شدند (Etminan et al. 2016).

با توجه به نتایج به‌دست آمده مشخص شد که آغازگرهای 4-SCoT و SCoT-8 به‌ترتیب با مقادیر ۴/۸۷ و ۹/۱۸ دارای کم‌ترین و بیشترین میزان قدرت تمایز (Rp) در ارزیابی تنوع ژنتیکی موجود در لاین‌های مورد مطالعه بودند. شاخص MI نیز برای آغازگرهای مورد استفاده در دامنه‌ای ۱/۷۰ (SCoT-24) تا ۳/۱۵ (SCoT-8) با میانگین ۲/۵۱ متغیر بود.

۵/۴۲ باند به‌ازای هر آغازگر از چهار باند (مربوط به آغازگرهای SCoT-4 و SCoT-24) تا هفت باند (مربوط به آغازگر SCoT-8) متغیر بود. در بین شاخص‌های تعیین‌کننده کارایی یک سیستم نشانگری، شاخص PIC از اهمیت ویژه‌ای برخوردار است. در واقع این شاخص به تعداد آل‌های قابل تشخیص و فراوانی آن‌ها وابسته بوده و احتمال تشخیص چندشکلی ایجاد شده توسط یک آغازگر را بین دو نمونه نشان می‌دهد (Powell et al. 1996). کارایی یک نشانگر مولکولی بستگی به میزان چندشکلی ایجاد شده و قدرت تمایز افراد مورد مطالعه دارد و در نشانگرهای غالب، آغازگرهایی که مقدار PIC آن‌ها در محدوده ۰/۲۵ تا ۰/۵۰ باشد از سودمندی خوبی برخوردار هستند و داده‌های حاصل از آن‌ها در مطالعات تنوع قابل اعتماد می‌باشند (Botstein et al. 1980). در این تحقیق بیشترین میزان محتوی اطلاعات چندشکلی مربوط به آغازگرهای SCoT-2 و SCoT-1 با مقدار ۰/۴۹ و کمترین میزان آن مربوط به آغازگر SCoT-21 با مقدار ۰/۴۲ به‌دست آمد و میانگین PIC برابر ۰/۴۶ محاسبه شد که نشان‌دهنده کارایی بسیار خوب آغازگرهای مورد بررسی است. بالا بودن درصد محتوی اطلاعات چندشکلی نشان‌دهنده انتخاب صحیح آغازگرهای مورد

جدول ۲- مشخصات توالی آغازگرهای SCoT و نتایج حاصل از تکثیر PCR در ۹۶ ژنوتیپ گندم دوروم مورد مطالعه

آغازگر	Sequence (Primer)	تعداد قطعات تکثیر شده	تعداد قطعات چندشکلی	قدرت تمایز	محتوای اطلاعات چندشکلی	شاخص نشانگر
SCoT-2	CAACAATGGCTACCACCC	۷	۶	۶۷۲	۰/۴۹	۲/۹۵
SCoT-3	CAACAATGGCTACCACCG	۶	۶	۶۷	۰/۴۹	۲/۹۵
SCoT-4	CAACAATGGCTACCACCT	۶	۴	۴/۸۷	۰/۴۷	۱/۹
SCoT-5	CAACAATGGCTACCACGA	۷	۵	۶	۰/۴۷	۲/۳۹
SCoT-7	CAACAATGGCTACCACGG	۶	۵	۵/۹۵	۰/۴۸	۲/۴
SCoT-8	CAACAATGGCTACCACGT	۷	۷	۹/۱۸	۰/۴۵	۳/۱۵
SCoT-9	CAACAATGGCTACCAGCA	۷	۶	۷/۲۹	۰/۴۷	۲/۸۶
SCoT-11	AAGCAATGGCTACCACCA	۷	۶	۷/۳۱	۰/۴۷	۲/۸۵
SCoT-12	ACGACATGGCGACCAACG	۶	۶	۸/۰۲	۰/۴۴	۲/۶۵
SCoT-14	ACGACATGGCGACCACCG	۶	۵	۶۲۵	۰/۴۶	۲/۳۴
SCoT-15	ACGACATGGCGACCGCGA	۷	۵	۶۷۷	۰/۴۳	۲/۱۸
SCoT-21	CACCATGGCTACCACCAT	۶	۵	۶۹۷	۰/۴۲	۲/۱۰
SCoT-24	CCATGGCTACCACCGCCA	۷	۴	۵/۳۳	۰/۴۴	۱/۷
SCoT-26	ACAATGGCTACCACCATC	۶	۶	۷/۴۵	۰/۴۷	۲/۸۲
	جمع		۷۶	۹۴/۸۱	۶/۴۵	۳۵/۲۴
	میانگین		۵/۴۲	۶۷۷	۰/۴۶	۲/۵۱

جدول ۳- نتایج واریانس داده‌های مولکولی (AMOVA) در ژنوتیپ‌های مورد مطالعه با استفاده از آغازگر SCoT

درصد واریانس تبیین شده	درجه آزادی	مجموع مربعات	میانگین مربعات	واریانس تخمینی	درصد واریانس تبیین شده
بین جمعیت‌ها	۲	۵۹/۷۹۵	۲۹/۸۹۸	۰/۸۲۶	۸٪
درون جمعیت‌ها	۹۳	۸۴۴/۹۵۵	۹/۰۸۶	۹/۰۸۶	۹۲٪
جمع	۹۵	۹۰۴/۷۵۰	۰	۹/۹۱۱	۱۰۰٪

شاخص شانون برای لاین‌های با منشأ ICARDA برابر با ۰/۴۸ بود که در مقایسه با این مقدار برای لاین‌های با منشأ CIMMYT (۰/۳۹) بیشتر بود. همین برتری در مورد تعداد الل مؤثر (۱/۵۶) در جمعیت ICARDA در برابر ۱/۴۵ در جمعیت (CIMMYT) و هتروزیگوسی (۰/۳۲) در جمعیت ICARDA در برابر ۰/۲۶ در جمعیت (CIMMYT) مشاهده شد.

وجود تنوع ژنتیکی بالا درون گونه‌های ژرم‌پلاسمی با استفاده از نشانگرهای مولکولی متفاوت مانند RAPD، SCoT و ISSR توسط سایر محققان نیز گزارش شده است (Pour-Aboughadreh et al. 2017; Etminan et al, 2016; Ahmadi et al. 2019; Etminan et al. 2017; Thomas and Bebeli 2010). گروه‌بندی ۹۶ ژنوتیپ مورد مطالعه از سه جمعیت بر اساس داده‌های حاصل از نشانگر SCoT با استفاده از ضریب جاکارد و الگوریتم Neighbour-joining صورت گرفت که دندروگرام حاصل در شکل ۱ نشان داده شده است. با توجه به دندروگرام حاصل ژنوتیپ‌های مربوط به هر جمعیت به‌طور نسبی از یکدیگر تفکیک شدند اگرچه در این بین اختلاط‌هایی نیز ملاحظه شد. در این دسته‌بندی، ژنوتیپ‌های شاهد عمدتاً همراه با ژنوتیپ‌های با منشأ ICARDA گروه‌بندی شدند.

نتیجه تجزیه به مختصات اصلی (PCoA) نیز با نتایج تجزیه خوشه‌ای تا اندازه‌ای مطابقت داشت (شکل ۲). در بای پلات حاصل از تجزیه به مختصات اصلی هم گروه‌بندی ژنوتیپ‌ها بر اساس منشأ آن‌ها و هم وجود تنوع بیشتر در ژنوتیپ‌های با منشأ ICARDA مشهود است به طوری که این ژنوتیپ‌ها که به رنگ قرمز (در مقابل ژنوتیپ‌های با منشأ CIMMYT به رنگ آبی) نشان داده شده‌اند از پراکندگی بیشتری در صفحه مختصات برخوردارند.

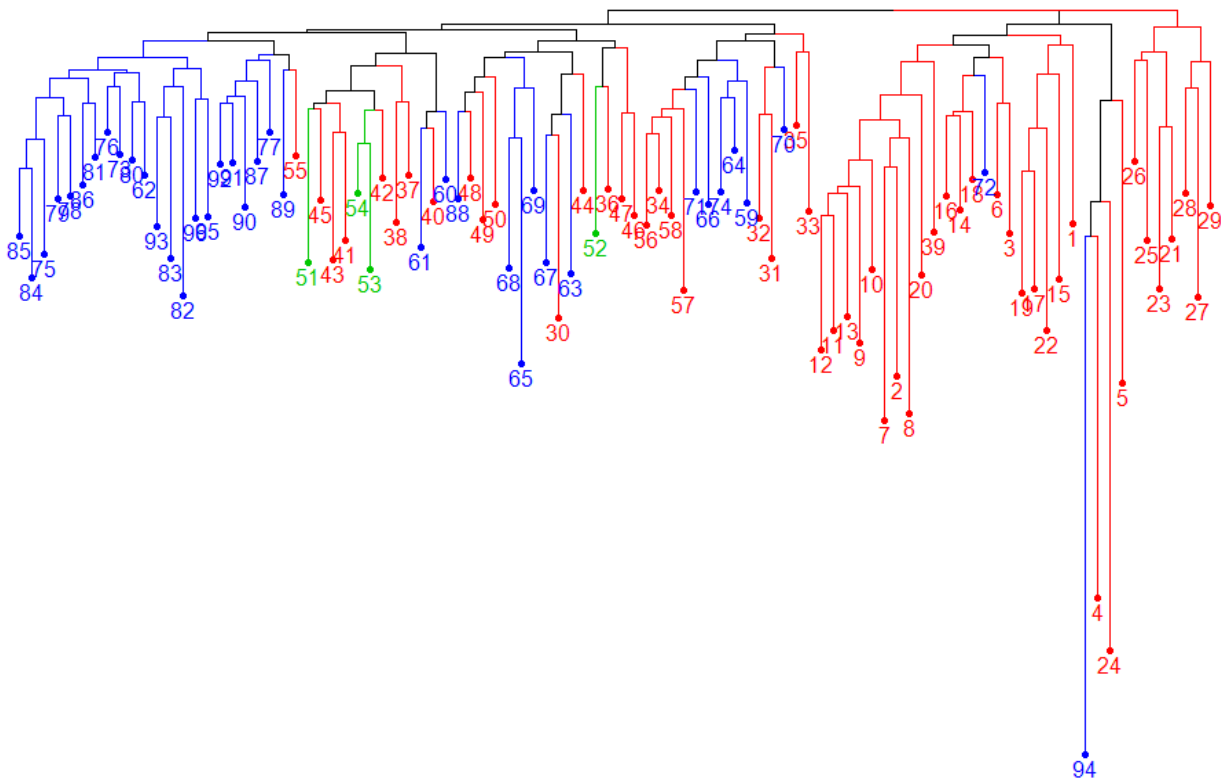
تجزیه واریانس مولکولی (AMOVA) بر اساس داده‌های SCoT نشان داد که ۸ درصد از تغییرات کل، مربوط به تنوع بین جمعیتی است در حالی که ۹۲ درصد از تغییرات با تنوع درون جمعیتی قابل توجیه می‌باشد (جدول ۳). در یک مطالعه به‌منظور بررسی پتانسیل نشانگر SCoT در بررسی تنوع ژنتیکی ۳۶ نمونه خارمریم (*Silybum marianum* L.) از مناطق مختلف خوزستان و ایلام نیز واریانس ژنتیکی درون جمعیت‌ها بیشتر از بخش بین جمعیتی به‌دست آمد (Zamani et al. 2018). برخی محققان پدیده جریان ژنی را عامل اصلی این تفاوت می‌دانند (Sorkheh et al. 2016). بالاتر بودن سهم واریانس درون جمعیتی نسبت به بین جمعیت‌ها بر اساس داده‌های مولکولی حاصل از نشانگرهای مختلف مانند SCoT و CDBP در بسیاری از مطالعات دیگر نیز گزارش شده است (Pour-Aboughadreh et al. 2017; Etminan et al, 2016; Ahmadi et al. 2019).

دامنه تغییرات میزان فاصله ژنتیکی در تجزیه داده‌های حاصل از نشانگرهای SCoT بین دو مقدار ۰/۰۹ تا ۰/۸۳ با متوسط ۰/۳۳ به‌دست آمد. بیشترین میزان فاصله ژنتیکی (۰/۸۳) بین لاین‌های شماره ۸ و ۹۴ مشاهده شد و کمترین فاصله ژنتیکی (۰/۰۹) برای دو لاین ۷۳ و ۷۶ به‌دست آمد. به‌طور کلی دقت در تخمین فاصله ژنتیکی افراد به تعداد نشانگر مورد استفاده، میزان چندشکلی و میزان پوشش ژنومی نشانگرها بستگی دارد.

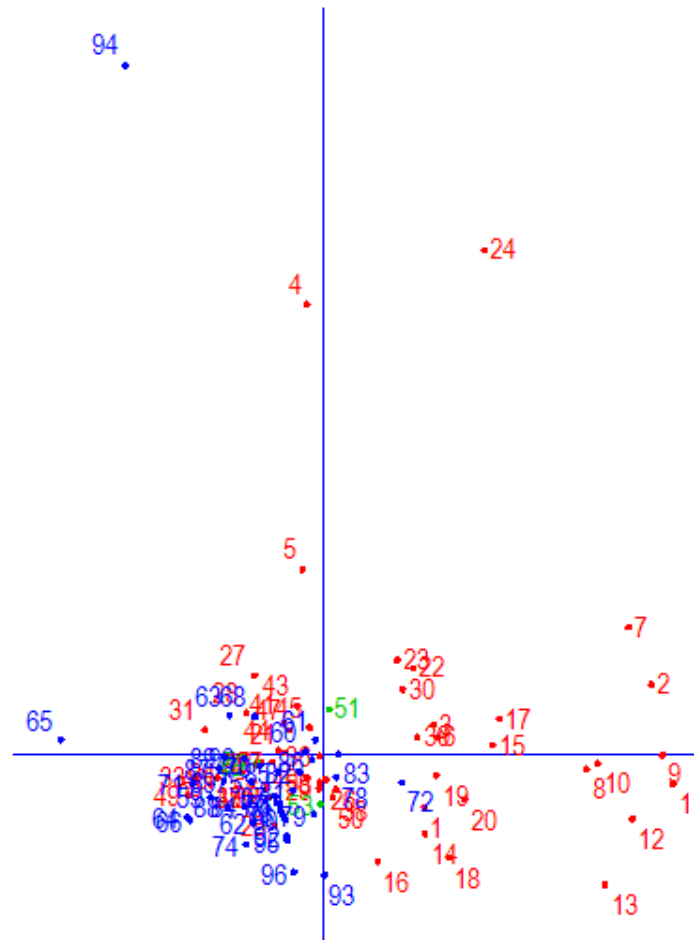
به‌منظور بررسی میزان تنوع ژنتیکی در جمعیت‌های مورد بررسی، شاخص‌های ژنتیک جمعیت شامل تعداد الل مؤثر، مقدار هتروزیگوسی، شاخص شانون و درصد چند شکلی برای هر جمعیت محاسبه شد که نتایج آن در جدول ۴ ارائه شده است. در مقایسه بین جمعیت‌های مورد مطالعه، جمعیت با منشأ ICARDA شامل ۵۴ لاین بر اساس مقادیر هتروزیگوسی، شاخص شانون و تعداد الل مؤثر از تنوع بیشتری برخوردار بود. متوسط مقدار

جدول ۴- شاخص‌های تنوع محاسبه شده در جمعیت‌های مورد مطالعه بر اساس نشانگر SCoT

جمعیت‌ها	شاخص آماری	شاخص تنوع جمعیت			
		تعداد کل آلل‌ها (N)	تعداد آلل مؤثر (Ne)	شاخص شانون (I)	تنوع ژنتیکی نی (H)
ICARDA	میانگین	۵۴	۱/۹۳۴	۱/۵۵۹	۰/۴۷۹
	خطای استاندارد		۰/۰۳۴	۰/۰۴۰	۰/۰۲۶
CIMMYT	میانگین	۳۸	۱/۶۳۲	۱/۴۵۱	۰/۳۹۱
	خطای استاندارد		۰/۰۷۷	۰/۰۴۲	۰/۰۳۱
Check	میانگین	۴	۱/۵۷۹	۱/۵۸۳	۰/۴۴۵
	خطای استاندارد		۰/۰۸۴	۰/۰۵۰	۰/۰۳۴



شکل ۱- دندروگرام حاصل از تجزیه کلاستر ۹۶ ژنوتیپ گندم دوروم با استفاده از ضریب فاصله جاکارد و الگوریتم Neighbour-joining (ژنوتیپ‌های با منشاء ICARDA، با منشاء CIMMYT و شاهد‌ها به ترتیب با رنگ قرمز، آبی و سبز نشان داده شده‌اند).



شکل ۲- پراکنش لاین‌های گندم دوروم بر اساس دو بردار اول حاصل از تجزیه به مختصات اصلی با استفاده از داده‌های SCoT

گونه‌های *Aegilops* بهتر از نشانگرهای CBDP عمل نمایند (Pour-Aboughadareh et al. 2019).

#### نتیجه‌گیری کلی

به‌طورکلی نتایج به‌دست آمده از این تحقیق بیانگر تنوع ژنتیکی نسبتاً بالایی در لاین‌های اصلاحی مورد مطالعه بود که دارای دو منشاء مختلف CIMMYT و ICARDA بودند و در مقایسه این دو جمعیت، ژنوتیپ‌های متعلق به جمعیت ICARDA بر اساس تمامی شاخص‌های تنوع برآورد شده و همچنین نتایج تجزیه‌های آماری انجام شده از تنوع بیشتری برخوردار بودند. همچنین این نتایج نشان داد که سیستم نشانگری SCoT دارای پتانسیل بالایی در نشان دادن روابط ژنتیکی و گروه‌بندی افراد بر اساس ساختار ژنومی آن‌ها می‌باشد. از سوی دیگر با توجه به ماهیت طراحی آغازگرها در این سیستم نشانگری که نواحی فعال ژنوم را هدف

همچنین نتایج تجزیه به مختصات اصلی نشان دهنده پوشش ژنومی نسبتاً مناسب آغازگرهای مورد استفاده با وجود تعداد اندک آن‌ها بود که این نتیجه مجدداً بیانگر کارایی مناسب نشانگرهای SCoT در تفکیک نمونه‌های مورد مطالعه بر اساس ویژگی‌های ژنتیکی می‌باشد. در اغلب مطالعات تنوع ژنتیکی و ساختار جمعیت با استفاده از نشانگرهای SCoT کارایی این نشانگرها به‌خوبی مورد اشاره قرار گرفته است. به‌عنوان مثال در ارزیابی مقایسه‌ای نشانگرهای SCoT و CBDP که هر دو از گروه نشانگرهای هدفمند ژنی هستند، نشانگرهای SCoT در بررسی تنوع ژنتیکی موجود در توده‌های مختلف *Aegilops* نسبت به نشانگرهای CBDP از لحاظ شاخص‌های آگاهی بخش سیستم نشانگری بهتری گزارش شد و مشخص شد که آغازگرهای SCoT به‌خوبی می‌توانند در شناسایی قطعات اختصاصی در

دلیل در برنامه‌های کاربردی نظیر نقشه‌یابی QTL نسبت به نشانگرهای تصادفی برتری دارند (Andersen Lubberstedt 2003) (and).

می‌گیرد، می‌توان انتظار داشت که این نشانگرها در آزمایشات تجزیه ارتباط و نقشه‌یابی نیز بتوانند مفید واقع شوند زیرا پوشش ژنومی این نشانگرها بر مناطق واجد ژن متمرکز بوده و به همین

### منابع

- Ahmadi J, Fabriki-Ourang S, Pour-Aboughadareh A (2019) Evaluation of genetic diversity in Aegilops populations possessing D genome using SCoT and TRAP markers. *Modern Genetics Journal* 14:221-230 (In Farsi).
- Andearson JR, Lubberstedt T (2003) Functional markers in plants. *Trends in Plant Science* 8:554-560.
- Botstein D, White RL, Skolnick M, Davis RW (1980) Construction of a genetic linkage map in man using restriction fragment length polymorphisms. *American Journal of Human Genetics* 32:314-331.
- Collard BC, Mackill DJ (2009). Start codon targeted (SCoT) polymorphism: a simple, novel DNA marker technique for generating gene-targeted markers in plants. *Plant Molecular Biology Reporter* 27:86.
- Doyle JJ, Doyle JL (1987) A rapid DNA isolation procedure for small quantities of fresh leaf tissue. *Phytochemical Bulletin* 19:11-15.
- Etminan A, Pour-Aboughadareh A, Mehrabi AA, Shoostari L, Ahmadi-Rad A, Moradkhani H (2019) Molecular characterization of the wild relatives of wheat using CAAT-box derived polymorphism. *Plant Biosystems* 153:398-405.
- Etminan A, Pour-Aboughadareh A, Mohammadi R, Ahmadi-Rad A, Noori A, Mahdavian Z, Moradi Z (2016) Applicability of start codon targeted (SCoT) and inter-simple sequence repeat (ISSR) markers for genetic diversity analysis in durum wheat genotypes. *Biotechnology & Biotechnological Equipment* 30:1075-1081.
- Etminan A, Pour-Aboughadareh A, Mohammadi R, Ahmadi-Rad A, Noori A, Mahdavian Z, Moradi Z (2017) Evaluation of genetic diversity in a mini core collection of Iranian durum wheat germplasm. *Journal of Animal and Plant Sciences* 27:1582-1587.
- Etminan A, Pour-Aboughadareh A, Noori A, Ahmadi-Rad A, Shoostari L, Mahdavian Z, Yousefiazar-Khanian M (2018) Genetic relationships and diversity among wild *Salvia* accessions revealed by ISSR and SCoT markers. *Biotechnology & Biotechnological Equipment* 32:610-617.
- Farahani E, Arzani A (2007) Study of Genetic Diversity of Cultivars and F1 Hybrids of Durum Wheat Using Agronomic and Morphological Traits. *Journal of Science And Technology of Agriculture And Natural Resources* 4:341-354 (In Farsi).
- Golabadi M, Arzani A (2003) Study of Genetic Variation and Factor Analysis of Agronomic Traits in Durum Wheat. *Journal of Water and Soil Science* 7(1):115-127(In Farsi).
- Gorji AM, Poczai P, Polgar Z, Taller J (2011) Efficiency of arbitrarily amplified dominant markers (SCoT, ISSR and RAPD) for diagnostic fingerprinting in tetraploid potato. *American journal of potato research* 88:226-237.
- Hamidi H, Talebi R, Keshavarz F (2014) Comparative Efficiency of Functional Gene-based Markers, Start Codon Targeted Polymorphism (SCoT) and Conserved DNA-derived Polymorphism (CDDP) with ISSR Markers for Diagnostic Fingerprinting in Wheat (*Triticum aestivum* L.). *Cereal Research Communications* 42:558-567.
- Hammami R, Sissons M (2020) Durum Wheat Products, Couscous. In *Wheat Quality For Improving Processing And Human Health*. Springer Press, [http://doi.org/10.1007/978-3-030-34163-3\\_15](http://doi.org/10.1007/978-3-030-34163-3_15). 345-366
- Heidari P, Etminan A, Azizinezhad R, Khosroshahli M (2017) Genomic Variation studies in durum wheat (*Triticum turgidum* ssp. durum) using CDDP, SCoT and ISSR markers. *Indian Journal of Genetics and plant breeding* 77:379-386.
- Lozhkin A, Malchikov P, Makushev A, Vasiliev O, Shashkarov L, Pushkarenko N (2020) Evaluation of spring durum wheat varieties by yield, structure and grain quality. In: *Proceedings of IOP Conference Series: Earth and Environmental Science*. 433:012045, Cheboksary, Russia.
- Mangova M, Petrova I (2007) Detection of quality diversity of durum wheat (*Triticum. durum* Desf.) using cluster and principal component analyses. *Bulgarian Journal of Agricultural Science* 13:301-308.
- Matus IA, Hayes PM (2002) Genetic diversity in three groups of barley germplasm assessed by simple sequence repeats. *Genome* 45:1095-1106.
- Melchinger A (1990) Use of molecular markers in breeding for oligogenic disease resistance. *Plant breeding* 104:1-19.
- Mirzaei K, Mirzaghaderi G (2017) Genetic diversity analysis of Iranian *Nigella sativa* L. landraces using SCoT markers and evaluation of adjusted polymorphism information content. *Plant Genetic Resources* 15:64-71.
- Mohammadi SA, Prasanna BM (2003) Analysis of genetic diversity in crop plants, salient statistical tools and considerations. *Crop Science* 43:1235-1248.
- Peakall R, Smous P (2012) GenA1Ex 6.5: genetic analysis in Excel. *Population genetic*.
- Pour-Aboughadareh A, Ahmadi J, Mehrabi AA, Etminan A, Moghaddam M (2017) Assessment of genetic diversity among Iranian *Triticum* germplasm using agro-morphological traits and start codon targeted (SCoT) markers. *Cereal research communications*. 45:574-586.

- Pour-Aboughadareh A, Ahmadi J, Mehrabi AA, Etminan A, Moghaddam M (2018) Insight into the genetic variability analysis and relationships among some Aegilops and Triticum species, as genome progenitors of bread wheat, using SCoT markers. *Plant Biosystems* 152:694-703.
- Pour-Aboughadareh A, Etminan A, Shooshtari L, Maleki-Tabrizi N (2019) Comparative assessment of SCoT and CBDP markers for investigation of genetic diversity existing in different Aegilops species. *Agricultural Biotechnology Journal* 11:153-174 (In Farsi).
- Powell W, Morgante M, Andre C, Hanafey M, Vogel J, Tingey S, Rafalski A (1996) The comparison of RFLP, RAPD, AFLP and SSR (microsatellite) markers for germplasm analysis. *Molecular Breeding* 2:225-238.
- Pradeep-Reddy M, Sarla N, Siddiq EA (2002) Inter simple sequence repeat (ISSR) polymorphism and its application in plant breeding. *Euphytica* 128:9-17.
- Rao VR, Hodgkin T (2002) Genetic diversity and conservation and utilization of plant genetic resources. *Plant Cell, Tissue and Organ Culture* 68:1-19.
- Reif JC, Xia XC, Melchinger AE, Warburton ML, Hoisington DA, Beck D, Bohn M, Frisch M (2004) Genetic diversity determined within and among CIMMYT maize population of tropical, subtropical, and temperate germplasm by SSR markers. *Crop Science* 44:326-334.
- Singh AK, Rana MK, Singh S, Kumar S, Kumar R, Singh R (2014) CAAT box-derived polymorphism (CBDP): a novel promoter-targeted molecular marker for plants. *Journal of plant biochemistry and biotechnology* 23:175-183.
- Sorkheh K, Amirbakhtiar N, Ercli S (2016) Potential Start Codon Targeted (SCoT) and interretrotransposon amplified polymorphism (IRAP) markers for evaluation of genetic diversity and conservation of wild pistacia species population. *Biochemical Genetics* 54:368-387
- Spanoleti-Zeuli PL, Qualset CO (1987) Geographical diversity for quantitative spike characters in a world collection of durum wheat. *Crop Science* 27:235-241.
- Thomas KG, Bebeli, PJ (2010) Genetic diversity of Greek Aegilops species using different types of nuclear genome marker. *Molecular Phylogenetics and Evolution* 56:951-961.
- Zamani N, Mirzaei K, Zamani W (2018) Evaluation of genetic diversity in several populations of medicinal Milk thistle using molecular marker. *Journal of Molecular and cellular research (Iranian Journal of Biology)* 31:293-305 (In Farsi).